

## 開水路加速流の実験的研究

京都大学工学部 正員 ○鬼束幸樹  
 九州工業大学工学部 正員 浦 勝 秋山壽一郎  
 九州工業大学大学院 学生員 岡本智和  
 JR九州 正員 木下敦之

### 1. はじめに

圧力勾配を有する境界層流においては乱れエネルギー分布が痩せ、主流速分布が層流的な分布となることが明らかにされている。しかし、開水路流においてはそれらが十分には解明されていない。本研究は、開水路加速流を対象として、流速分布、Reynolds応力分布などの測定を行い、検討を加えたものである。

### 2. 実験装置および実験条件

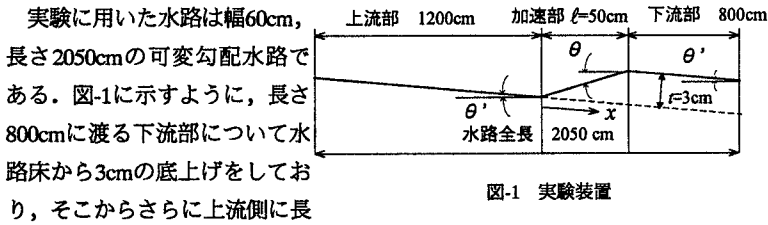


表-1 水理諸量

$x$ (cm)	$x/l$ (-)	$h$ (cm)	$U_m$ (cm/s)	$F_r$ (-)
-25	-0.5	9.37	19.1	0.18
0	0.0	9.35	19.2	0.19
8	0.2	8.89	20.2	0.19
20	0.4	8.15	22.0	0.21
30	0.6	7.49	23.9	0.23
40	0.8	6.74	26.6	0.27
50	1.0	6.08	29.5	0.31
100	2.0	6.20	28.9	0.29

さ  $l=50\text{cm}$  の加速部を設置した。実験条件は上流部において、水深が  $10\text{cm}$  の等流になるように流量を  $10.7\ell/s$ 、上流部および下流部の水路床勾配を  $\sin\theta'=1/10000$ 、加速部の水路床勾配を  $\sin\theta=-1/17$  とした。流速測定は、X型 Hot-film 流速計を用いてサンプリング間隔を  $0.01\text{sec}$ 、サンプリング時間を  $40.96\text{sec}$  として水路中央線上に8断面、鉛直方向に16点について行った。なお、座標系としては、加速部入口より流下方向に  $x$  軸を、 $x$  軸と垂直上向きに  $y$  軸をとり、それぞれの時間平均流速を  $U$ 、 $V$ 、変動成分を  $u$ 、 $v$  とした。

### 3. 実験結果および考察

表-1に水理諸量を示す。ここに  $h$  は水深、 $U_m$  は断面平均流速、 $F_r = U_m/\sqrt{gh}$  はFroude数、 $g$  は重力加速度である。

図-2に主流速分布を示す。図中の●印は内層 ( $50 < yU_* / \nu$ ,  $y/h \leq 0.2$ )、○印は外層 ( $y/h > 0.2$ ) における分布を示し、実線は式(1)のlog則である。

$$\frac{U}{U_*} = \frac{1}{\kappa} \ln \frac{yU_*}{\nu} + A \quad (\kappa = 0.41, A = 5.3) \quad (1)$$

ここに、 $\kappa = 0.41$  はKarman定数、 $A = 5.3$  は積分定数、 $U_*$  は内層の主流速分布

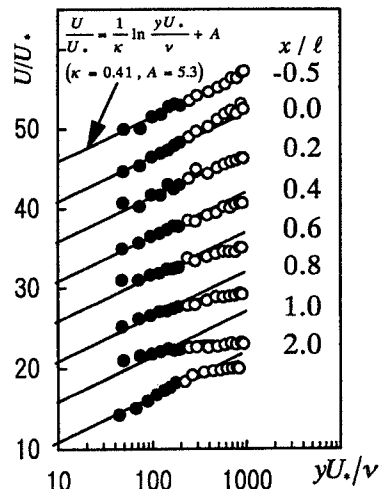


図-2 主流速分布の流下方向変化

keywords: 開水路流, 加速流, Reynolds応力

〒606 京都市左京区吉田本町 TEL 075-753-5082 FAX 075-761-0646

〒804 北九州市戸畑区仙水町1-1 TEL 093-884-3125 FAX 093-884-3100

にlog則を適用して算出した摩擦速度であり、図-2中の縦軸は各断面ごとに5ずつシフトして表示している。主流速分布は、上流部ではlog則に良好な一致を示すが、加速部においてはlog則からずれを生じ、一様化していることが観察される。このような現象は禰津ら<sup>3)</sup>の開水路加速流の結果と一致し、順圧力勾配の影響によるものと考えられる。一方、下流部においては、主流速分布はlog則に近づいていく傾向がある。

図-3にReynolds応力分布の流下方向変化を示す。◆印は上流部、○印は加速部、▲印は下流部での分布を示し、実線は等流で成立する普通分布( $-\overline{uv}/U^2 = 1 - y/h$ )を表す。Reynolds応力分布は、上流部ではほぼ等流の分布に従い、加速部では等流の分布から徐々に減少していく。これは、禰津ら<sup>3)</sup>による開水路加速流の結果に類似している。下流部では底面より再び等流の分布に漸近していく。

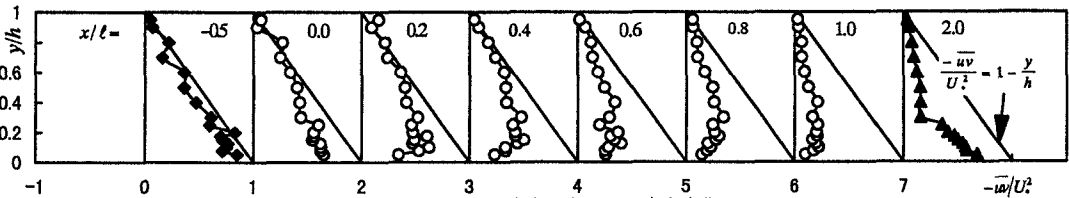


図-3 Reynolds応力分布の流下方向変化

図-4に乱れエネルギー $k/U^2$ の実測値をプロットで示し、等流の分布を曲線で示す<sup>3),4)</sup>。ここに、 $k = (\overline{u^2} + \overline{v^2} + \overline{w^2})/2$ で図-4中において縦軸は4ずつシフトしてある。また、横断方向乱れ強度 $\sqrt{w^2}/U$ は式(2)により算出した。

$$\frac{\sqrt{w^2}}{U_*} = \frac{D_w}{D_u} \exp\left[-(\lambda_w - \lambda_u) \frac{y}{h}\right] \frac{\sqrt{u^2}}{U_*} \quad (2)$$

ここに、 $D_u = 2.26$ ,  $D_w = 1.63$ ,  $\lambda_u = 0.88$ ,  $\lambda_w = 1.0$ は、開水路等流において得られた経験値である<sup>3),4)</sup>。乱れエネルギー分布は上流部ではほぼ等流の分布に適合している。加速部では流下に伴い乱れエネルギーが減少し、特に底面近傍を除いた領域で一様化を示す。下流部では再び等流の分布に漸近していく。このように加速された流れにおける乱れエネルギーが等流の分布より減少する理由として、図-2に示されるように内層における速度勾配が減少し、さらに図-3に示されるようにReynolds応力も減少したことが考えられる。

#### 4. おわりに

順圧力勾配を有する開水路流の流速分布はlog則よりずれを生じ、内層において速度勾配が減少する。また、Reynolds応力も等流の分布より減少するので、乱れの生成量が等流のものよりも減少する。よって乱れエネルギーは等流の分布より減少し一様化する。

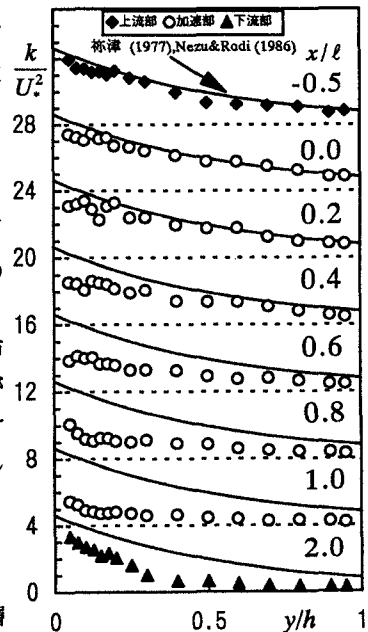


図-4 乱れエネルギー分布

#### 参考文献

- 1) 禰津家久, 門田章宏, 戸田孝史, 水工学論文集, 第40巻, pp.755-760, 1996.
- 2) 禰津家久, 門田章宏, 戸田孝史, 中川博次, 土木学会論文集, 509/II-30, pp.89-97, 1995.
- 3) 禰津家久: 開水路乱流の乱れ強度に関する研究, 土木学会論文集, 第261号, pp.67-76, 1977.
- 4) Nezu, I and Rodi, W., *Journal of Hyd.Engineering*, vol.112, pp.335-355, 1986.